



## **Die Ingenieur-Mathematik in elementarer Behandlung**

Enthaltend die statischen Momente und Schwerpunktslagen, die Trägheits- und Centrifugalmomente für die wichtigsten Querschnittsformen und Körper der technischen Mechanik in rechnerischer und graphischer Behandlung unter Berücksichtigung der Methoden von Nehls, Mohr, Culmann, Land und Reye

**Holzmüller, Gustav**

**Leipzig, 1897**

Guldinsche Regel für Drehungsflächen.

---

[urn:nbn:de:hbz:466:1-76845](https://nbn-resolving.org/urn:nbn:de:hbz:466:1-76845)

einzusetzen ist. Die Schlusformel also wird

$$\varrho = \frac{s^3}{6r^2 \left( \pi \frac{\alpha}{180} - \sin \alpha \right)},$$

wo  $\alpha$  aus  $\sin \frac{\alpha}{2} = \frac{s}{2r}$  zu bestimmen ist.

9) Bisweilen kann man eine Methode verwenden, bei der die Kenntnis der **Guldinschen Regel für Drehungsflächen** n $\ddot{o}$ thig ist.

Man kann diese folgendermassen entwickeln.

Wird die Gerade  $AB$  von der L $\ddot{a}$ nge  $s$  um eine Achse  $KL$  derselben Ebene gedreht, so entsteht der Kegelmantel

$$M = (r + r_1)\pi s = 2 \frac{r + r_1}{2} \pi s = 2 \varrho \pi s,$$

wo wiederum  $\varrho$  der Schwerpunktsabstand von der Achse ist.

Rotiert eine Folge von geraden Linien derselben Ebene um eine Achse dieser Ebene, sind ferner  $s_1, s_2, s_3, \dots$  die L $\ddot{a}$ ngen der Geraden,  $\varrho_1, \varrho_2, \varrho_3, \dots$  ihre Schwerpunktsabst $\ddot{a}$ nde von der Achse, so wird die Mantelfl $\ddot{a}$ che des Drehungsk $\ddot{o}$ rpers

$$\begin{aligned} M &= 2 \varrho_1 \pi s_1 + 2 \varrho_2 \pi s_2 + 2 \varrho_3 \pi s_3 + \dots \\ &= 2 \pi [\varrho_1 s_1 + \varrho_2 s_2 + \varrho_3 s_3 + \dots]. \end{aligned}$$

Nach dem Gesetz der statischen Momente ist aber die Klammer identisch mit  $\varrho s$ , wo

$$s = s_1 + s_2 + s_3 \dots$$

die L $\ddot{a}$ nge des gesamten Linienzugs,  $\varrho$  sein Schwerpunktsabstand von der Achse ist, demnach ist die Mantelfl $\ddot{a}$ che

$$M = 2 \varrho \pi s = \text{Schwerpunktsweg} \\ \text{mal L $\ddot{a}$ nge des Linienzugs.}$$

Handelt es sich um eine krumme Linie der Ebene, so gilt der Satz ebenfalls, denn man darf diese als eine Reihe kleiner gerader Linien betrachten.

Kennt man die Drehungsfl $\ddot{a}$ che  $F$  und die Bogenl $\ddot{a}$ nge  $b$ , so er- giebt sich f $\ddot{u}$ r den Schwerpunkt der Achsenabstand

$$\varrho = \frac{F}{2\pi b}.$$

Fig. 14.

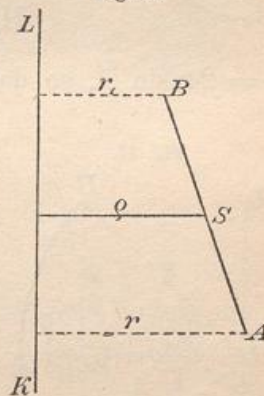
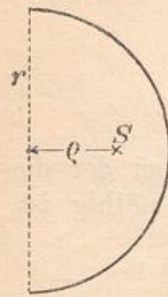


Fig. 15.



9) Für den Halbkreisbogen ist

Fig. 16.



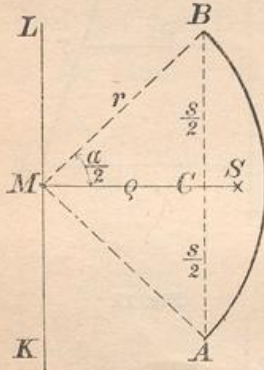
$$q = \frac{4r^2\pi}{2\pi b} = \frac{4r^2\pi}{2\pi \cdot r\pi} = \frac{2r}{\pi}$$

Für den Kreisbogen  $b$  vom Radius  $r$ , dessen Sehne sich als  $s$  berechnet, giebt die Drehung um  $KL$  eine Kugelzone von der Fläche  $2r\pi s$ . Demnach ist die Schwerpunktsentfernung von  $M$  aus gerechnet (Fig. 17)

$$q = \frac{2r\pi s}{2\pi b} = \frac{rs}{b}$$

Hier ist  $b : r\pi = \alpha^\circ : 180^\circ$ , d. h.  $\alpha = \frac{b}{r\pi} 180^\circ$ , und  $s = 2r \sin \frac{\alpha}{2}$ , so daß man schreiben kann

Fig. 17.



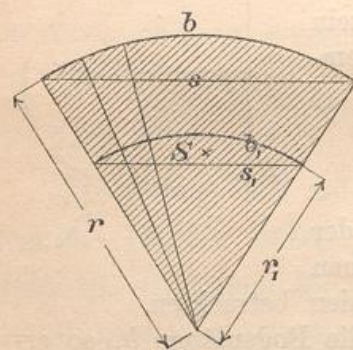
$$q = \frac{2r^2 \sin \frac{\alpha}{2}}{b}$$

wo  $\alpha = \frac{b}{r\pi} 180^\circ$  ist.

10) Dieses Resultat kann für Flächen benutzt werden, z. B. für den Kreissektor mit Radius  $r$  und Bogen  $b$ .

Denkt man sich diesen in zahlreiche „Dreiecke“ zerlegt, deren Basis man dann als geradlinig annehmen darf, so liegen die Einzelschwerpunkte in der Entfernung  $\frac{2}{3}r$  von  $M$ . Bei gleichen Teilsektoren liegen sie gleichmäßig verteilt, also muß der Schwerpunkt der Gesamtfläche mit dem des entsprechenden Bogens übereinstimmen. Man erhält

Fig. 18.



$$q = \frac{r_1 s_1}{b_1} = \frac{\frac{2}{3} r \frac{2}{3} s}{\frac{2}{3} b} = \frac{2rs}{3b}$$

oder

$$q = \frac{2r \cdot 2r \sin \frac{\alpha}{2}}{3 \cdot 2r\pi \frac{\alpha}{360}} = \frac{240r \sin \frac{\alpha}{2}}{\pi\alpha}$$

Über  $s$  ist dieselbe Bemerkung zu machen, wie vorher.

Man kann das Resultat auch mit Hilfe des Kreissegments und des Dreiecks finden.

Für  $\alpha = 180^\circ$  ergibt sich das unter 6) für den Halbkreis abgeleitete Resultat.